

## An Assessment of the Increase in Fetal Hemoglobin Gene Expression in the K562 Cell Line Treated by Dendrosomal Nano-curcumin

Hadi Shirzad<sup>1\*</sup>, Maryam Poursangi<sup>2</sup>, Hosein Maghsoudi<sup>3</sup>, Shirin Jalili<sup>1</sup>

1- Assistant Professor, Research Institute of Police Science and Social Studies, Tehran, Iran

2- M.Sc. Student, Department of Biology, Faculty of Basic Sciences, Payame Noor University, PNU Ray, Tehran, Iran

3- Assistant Professor, Department of Biology, Faculty of Basic Sciences, Payame Noor University, PNU Ray, Tehran, Iran

\*Corresponding Address: Postal Code: 6516-19395, Research Institute of Police Science and Social Studies, Tehran, Iran  
Email: hadi\_shirzad@yahoo.com

Received: 16/Nov/2016, Accepted: 26/Jan/2017

### Abstract

**Objective:** Fetal hemoglobin is the predominant hemoglobin expressed by gamma globin. However, in adults, fetal hemoglobin normally reduces to very low levels of the total hemoglobin. The increase in levels of fetal hemoglobin can ameliorate the severity of  $\beta$ -hemoglobin disorders such as sickle cell disease and beta-thalassemia. Currently, drugs that have been used for induction of Fetal hemoglobin (HbF) have short-term effects. Dendrosomal nano-curcumin (DNC), which has high solubility and absorption, is able to detect different targets in the cell and affect gene expression. LSD1 is one of the most important gamma globin inhibitors. In this study, we examine the capability of DNC to inhibit the expression of LSD1, GATA1, and FOG1 as well as the increase in gamma globin expression.

**Methods:** We used the K562 cell line for the MTT assay and treatment by DNC. Then the effect of DNC on the increase in expression level of  $\gamma$ -globin, decrease expression level of LSD1 and transcription factors, GATA1 and FOG1 was investigated by Real time PCR.

**Results:** Data acquired from gene expression assays indicated that DNC induced gamma globin expression and decreased expressions of LSD1, GATA1, and FOG1 in a time and dose-dependent manner.

**Conclusion:** Inhibition of LSD1, GATA1, and FOG1 expressions via DNC led to increased gamma globin expression. These results showed that DNC could be a promising treatment for beta-thalassemia and sickle cell disorders, and possibly reduce the severity of symptoms of these patients through the induction of fetal hemoglobin.

**Keywords:** Dendrosomal nano-curcumin,  $\gamma$ -globin, LSD1, K562 cell line

# ارزیابی افزایش بیان ژن هموگلوبین جنینی در رده سلولی K562 تیمار شده با نانوکورکومین دندروزومی

هادی شیرزاد<sup>۱\*</sup>، مریم پورسنگی<sup>۲</sup>، حسین مقصودی<sup>۳</sup>، شیرین جلیلی<sup>۱</sup>

۱- استادیار، پژوهشگاه علوم انتظامی و مطالعات اجتماعی، تهران، ایران

۲- دانشجوی کارشناسی ارشد، گروه زیست شناسی، دانشکده علوم پایه، دانشگاه پیام نور، واحد ری، تهران، ایران

۳- استادیار، گروه زیست شناسی، دانشکده علوم پایه، دانشگاه پیام نور، واحد ری، تهران، ایران

\*آدرس نویسنده مسئول: ایران، تهران، کدپستی: ۱۹۳۹۵-۶۵۱۶، پژوهشگاه علوم انتظامی و مطالعات اجتماعی

Email: hadi\_shirzad@yahoo.com

پذیرش مقاله: ۹۵/۱۱/۰۶

دریافت مقاله: ۹۵/۰۸/۲۵

## چکیده

**هدف:** هموگلوبین جنینی، هموگلوبین غالب دوران جنینی است که توسط ژن گاما-گلوبین بیان می‌شود. هموگلوبین جنینی در افراد بالغ به میزان بسیاری کاهش می‌یابد. افزایش هموگلوبین جنینی می‌تواند شدت اختلالات بتاهموگلوبینوپاتی‌ها همچون سلول‌های داسی شکل و بتا-تالاسمی را کاهش دهد. در حال حاضر، به کارگیری داروهای القاکننده بیان ژن هموگلوبین جنینی، آثار درمانی محدودی دارند. نانوکورکومین دندروزومی که حلالیت و جذب بالایی دارد، می‌تواند اهداف مختلفی را در سلول شناسایی کند و بیان بسیاری از ژن‌ها را تحت تأثیر قرار دهد. یکی از مهم‌ترین مهارکننده‌های بیان ژن گاما-گلوبین، LSD1 است. در مطالعه حاضر، توانایی نانوکورکومین دندروزومی در مهار بیان ژن‌های LSD1، GATA1 و FOG1 و اثر آن بر بیان هموگلوبین جنینی بررسی شده است.

**مواد و روش‌ها:** برای انجام آزمون MTT و نیز تیمار با نانوکورکومین دندروزومی از رده سلولی K562 (رده سلولی مناسب در مطالعات مربوط به القا بیان ژن هموگلوبین جنینی) استفاده شد. بررسی توانایی نانوکورکومین دندروزومی در افزایش بیان گاما-گلوبین و کاهش بیان LSD1 و عوامل رونویسی GATA1 و FOG1، به‌وسیله روش Real-Time PCR انجام شد.

**نتایج:** نتایج کسب‌شده از سنجش بیان ژن‌های یادشده نشان داد که نانوکورکومین دندروزومی می‌تواند به‌طور معنی‌داری متناسب با زمان و غلظت تیماری، بیان ژن گاما-گلوبین را افزایش و بیان ژن‌های LSD1، GATA1 و FOG1 را کاهش دهد.

**نتیجه‌گیری:** با مهار بیان ژن‌های LSD1، GATA1 و FOG1 توسط نانوکورکومین دندروزومی، بیان ژن گاما-گلوبین افزایش می‌یابد. در نتیجه با انجام مطالعات تکمیلی، می‌توان این دارو را به‌عنوان یک کاندید درمانی امیدوارکننده و ایمن برای بیماری‌های بتا-تالاسمی و کم‌خونی سلول‌های داسی شکل و کاهش شدت بیماری از طریق القا بیان هموگلوبین جنینی در نظر گرفت.

**کلیدواژگان:** نانوکورکومین دندروزومی، گاما-گلوبین، LSD1، رده سلولی K562

پژوهش‌های آسیب شناسی زیستی، دوره ۱۹، شماره ۴، زمستان ۱۳۹۵، صفحات: ۵۵-۶۹

مولکول هموگلوبین از دو جفت زنجیره  $\alpha$  و  $\beta$  و چهار مولکول هم (Heme) متصل به آهن تشکیل شده است که در انتقال اکسیژن نقش مهمی را ایفا می‌کند. در دوران جنینی، هموگلوبین جنینی (Fetal Hemoglobin: HbF)، هموگلوبین غالب است در حالی که پس از تولد، بیان آن کاهش یافته و هموگلوبین بالغ (Adult Hemoglobin)، جایگزین آن می‌شود. به طوری که میزان آن در افراد بالغ، کمتر از یک درصد کل هموگلوبین بدن است [۱]. بیماری‌های مرتبط با هموگلوبینوپاتی‌ها (Hemoglobinopathy) جز شایع‌ترین بیماری‌های ارثی اتوزوم مغلوب است که از مهم‌ترین آن‌ها، می‌توان به بیماری سلول‌های داسی شکل (Sickle Cell Dieses: SCD) و بتا-تالاسمی (Beta-thalassemia) اشاره داشت. این دو بیماری از امراض مزمنی هستند که میزان مرگ و میر افراد مبتلا به آن‌ها زیاد است. در کشورهای کم درآمد، اکثر افراد مبتلا در دوران کودکی جان خود را از دست می‌دهند. تخمین زده شده است که سالانه نزدیک به ۳۰۰ هزار نوزاد مبتلا به بیماری سلول‌های داسی شکل (بیشتر در آفریقا) متولد می‌شوند. همچنین بتا-تالاسمی در اکثر مناطق آسیا و خاورمیانه که اصولاً منابع درمانی محدودی دارند نیز به طور شایع دیده می‌شود [۲]. شدت بیماری افراد مبتلا به اختلالات هموگلوبینوپاتی، با میزان بیان هموگلوبین جنینی ارتباط مستقیم دارد. در افراد نادری که مبتلا به بتا-هموگلوبینوپاتی و پایداری ارثی هموگلوبین جنینی (Hereditary Persistence of Fetal Hemoglobin: HPFH) هستند، عوارض بیماری کاهش می‌یابد. گاما-گلوبین دارای ساختار طبیعی، می‌تواند جایگزین مناسبی برای بتاگلوبین در بیماران مبتلا به بتا-هموگلوبینوپاتی باشد. به دلیل اینکه هموگلوبین جنینی نسبت به هموگلوبین بالغ، میل ترکیبی بیشتری با اکسیژن دارد، اما مشاهده شده است افراد با ژنوتیپ HPFH افرادی کاملاً سالم هستند [۳]. امروزه راهکارهای درمانی نوینی که مهارکننده‌های بیان گاما-گلوبین را تحت تأثیر قرار می‌دهد و منجر به افزایش بیان گاما-گلوبین و در

## بررسی افزایش بیان ژن هموگلوبین جنینی

نتیجه افزایش سطح هموگلوبین جنینی می‌شود، بسیار مورد توجه قرار گرفته است [۴]. عوامل تنظیمی متعددی در خاموش‌سازی بیان گاما-گلوبین دخیل هستند که یکی از مهم‌ترین آن‌ها، هیستون دمتیلاز وابسته به لایزین (Lysine Specific Demethylase 1: LSD1) است که منجر به کاتالیز دمتیلاسیون اکسیداتیو، متیل لایزین ۴، هیستون ۳ (H3K4me1) و دی متیل لایزین ۴، هیستون ۳ (H3K4me2) می‌شود. متیله بودن لایزین و هیستون، باعث فعال شدن رونویسی ژن گاما-گلوبین شده و دمتیلاسیون آن به وسیله، هیستون دمتیلاز وابسته به لایزین، باعث عدم بیان این ژن می‌شود [۵]. بیشترین تحقیقات صورت گرفته در خصوص عدم بیان ژن گاما-گلوبین، روی عوامل رونویسی ترانس-اکتینگ (Trans-acting) متمرکز بوده است که از این عوامل، می‌توان به عوامل رونویسی GATA1 و FOG1 اشاره داشت که با کمپلکس سازی نوکلئوزوم داستیلاز (Nucleosome Remodeling Deacetylase: NuRD) مرتبط هستند و نقش مؤثری در خاموش شدن بیان ژن گاما-گلوبین دارند [۶، ۷]. از این رو، این فرضیه که مهارکننده‌های دارویی این مهارکننده‌های رونویسی، می‌توانند در فعال‌سازی مجدد ژن گاما-گلوبین و در نتیجه القا بیان هموگلوبین جنینی مؤثر باشند، می‌تواند صحیح باشد. در سال‌های اخیر، تعداد زیادی از القاکننده‌های دارویی برای افزایش بیان هموگلوبین جنینی آزمایش شده‌اند که می‌توان به هیدروکسی اوره (Hydroxyurea)، دسی-تاین (Decitabine)، آزاسیتیدین (Azacitidine)، بوتیرات (Butyrate) و... اشاره داشت [۸]. افزایش مقادیر کم هموگلوبین جنینی در بیماران مبتلا به بیماری سلول‌های داسی شکل می‌تواند در کاهش عوارض این بیماری بسیار مؤثر باشد. همچنین در بتا-تالاسمی نیز افزایش هموگلوبین جنینی در خون این بیماران موجب بهبود عوارض این بیماری می‌شود. از این رو تهیه داروهایی که توان القاکنندگی بالایی برای هموگلوبین جنینی داشته باشند و از سویی آثار جانبی کمتری نسبت به سایر داروهای موجود داشته باشند بسیار اهمیت دارد [۴]. کورکومین (Curcumin)، کورکومینوئید (Curcuminoid) اصلی گیاه زردچوبه است که دو تا پنج درصد از زردچوبه را تشکیل

می‌دهد و عامل رنگ زرد زردچوبه و آثار درمانی آن است [۹]، [۱۰]. کورکومین یک ترکیب پلی فنلی با فرمول شیمیایی  $C_{21}H_{20}O_6$  است که دارای وزن مولکولی ۳۶۸/۳۸ گرم/مول با نقطه ذوب ۱۸۳ درجه سانتی‌گراد است و قابل انحلال در محلول‌های اتانول و متانول است [۱۱، ۱۲]. ساکین جنوب شرقی آسیا، از سالیان پیش، از زردچوبه نه تنها به‌عنوان ادویه بلکه به‌عنوان یک دارو برای ترمیم زخم‌ها، تسکین دردها و درمان بسیاری از بیماری‌ها استفاده می‌کردند. از دیرباز، تأثیر این ترکیب گیاهی در بهبود آرترژی، زخم‌های پوستی، تسکین معده درد، درمان یرقان، اسهال خونی، بیماری‌های مزمن چون سرطان‌ها و مشکلات روانی مورد توجه طب سنتی بوده است. نکته جالب توجه در رابطه با استفاده از این ترکیب در مقادیر بالا این است که آثار جانبی قابل ملاحظه ندارد [۱۳]. در واقع نقطه عطف کورکومین، قابلیت تأثیرگذاری آن روی ژن‌های مختلف است که متعاقب آن، ترکیبات متفاوتی مانند سایتوکاین‌های التهابی، آنزیم‌ها، عوامل رشد، گیرنده‌ها، مولکول‌های چسبنده، پروتئین‌کینازها، عوامل رونویسی و ... را تحت تأثیر قرار می‌دهد [۱۴] اما کاربرد دارویی این ترکیب به خاطر حلالیت کم و پایداری کمی که دارد، محدود است. برای رفع این محدودیت امروزه به کارگیری نانوذرات برای دارو رسانی هدفمند و پایداری داروها بسیار مؤثر بوده است [۱۵، ۱۶].

در این راستا، تولید نانوحامل‌های دندروزومی که در برگیرنده کورکومین هستند، این مشکل را تا حد زیادی حل کرده است [۱۷-۱۹]. از این رو در این تحقیق اثر نانوکورکومین دندروزومی در مهار بیان ژن هیستون دمتیلاز وابسته به لایزین و سایر مهارکننده‌های بیان ژن گاما-گلوبین و در نهایت اثر آن در افزایش میزان بیان ژن هموگلوبین جنینی بررسی شده است.

## مواد و روش‌ها

### کشت رده سلولی K562

با توجه به اینکه سلول‌های K562 مشابه سلول‌های

اریترویدی جنینی هستند و توانایی القا شدن با داروهای مختلف و تولید هموگلوبین جنینی را دارند، مدل مناسبی برای مطالعات القا گاماگلوبین در شرایط *in vitro* هستند [۲۰]. به همین دلیل این رده سلولی مدلی مناسب برای این تحقیق است. این رده سلولی از سازمان انتقال خون ایران تهیه شد که حاوی نشان‌گرهای GPA (Glycophorin A) و CD36 است. برای کشت این رده سلولی، محیط RPMI1640 (Roswell Park Memorial Institute 1640) (Gibco، آلمان) همراه با ۱۰ درصد سرم جنین گاوی (Gibco، آلمان) و ۱ درصد آنتی‌بیوتیک پنی‌سیلین/استرپتومایسین (Penicillin/Streptomycin) (BIO-IDEA، آلمان) استفاده شد. سلول‌ها درون انکوباتور و با شرایط ۵ درصد  $CO_2$ ، رطوبت ۹۵ درصد و دمای ۳۷ درجه سانتی‌گراد کشت داده شدند.

### آماده‌سازی نانوکورکومین دندروزومی

کورکومین به‌صورت تجاری از شرکت Merck (آلمان) خریداری شد. در این مطالعه از نانوحامل پلیمری (دندروزوم) برای رسانش کورکومین به سلول استفاده شد. به همین دلیل دندروزوم‌های OA-400 به‌عنوان نانو حامل برای افزایش حلالیت کورکومین انتخاب شد. حامل‌های دندروزومی OA-400 طی واکنش استریفیکاسیون (Esterification) اولئیل کلرید (۰/۳ گرم) و پلی‌اتیلن گلیکول ۴۰۰ (Polyethylene Glycol: PEG) (۴ گرم)، در حضور تری اتیل آمین (۱/۲ گرم) و کلروفورم به‌عنوان حلال، ساخته شد. در نهایت، حاملین دندروزومی OA-400 پس از جداسازی نمک تری اتیل آمین هیدروکلرید از فاز آلی و تبخیر کلروفورم در دمای ۴۰ درجه سانتی‌گراد و در شرایط خلا به‌مدت ۴ ساعت به‌دست آمد [۲۱]. نسبت بهینه دندروزوم به کورکومین توسط اسپکتروفتومتری با نسبت وزنی ۱:۹ به‌دست آمد و در نهایت نانوکورکومین دندروزومی با غلظت ۱۰۰ میلی‌گرم بر میلی‌لیتر تهیه و در دمای ۴ درجه سانتی‌گراد و دور از نور نگهداری شد.

۱۰ میکرومولار و ۲۰ میکرومولار انتخاب شد. سلول‌ها در پلیت ۶ خانه‌ای با غلظت‌های تعیین شده نانوکورکومین تیمار شدند. بعد از زمان مورد نظر، با استفاده از واکنش گر RNX، RNA تام سلولی از گروه‌های کنترل و تیمار جدا گردید. نمونه کنترل در تمام موارد (تعداد سلول، زمان کشت، نوع محیط کشت، سرم و آنتی‌بیوتیک و همچنین محیط نگهداری) با نمونه تیمار مشابهت داشته است و تنها تفاوت آن با نمونه تیمار این است که داروی نانوکورکومین دندروزومی را دریافت نکرده و در واقع دوز تیمار آن، صفر است. در واقع نمونه کنترل حاوی سلول، محیط کشت، سرم (Fetal bovine serum: FBS) و آنتی‌بیوتیک پنی سیلین/استرپتومایسین بود.

### استخراج RNA تام سلولی

پس از تیمار سلول‌ها با دوز مناسب از داروی نانوکورکومین، لیز سلول‌ها طبق روش کیت واکنش گر RNX-Plus (سینازن، ایران) انجام شد. بدین ترتیب که بعد لیز کامل سلول‌ها با بافر RNX و افزودن ۱۰۰ میکرولیتر کلروفرم میکروتیوپ‌ها به مدت ۱۵ دقیقه با دور سانتریفوژ شدند. در این تحقیق از سانتریفوژ Dragon-lab (High Speed Micro Centrifuge D3024R) استفاده شد که دارای شعاع روتور (Rotor Radius) ۹ سانتی متر بود و برای این مدل، ۱۲۰۰۰ دور در دقیقه در حدود ۱۴۴۸۹G است. سپس حدود ۸۰ درصد از فاز بالایی که حاوی RNA است به آرامی به میکروتیوپ جدید منتقل شد. پس از اضافه کردن ایزوپروپانول (Isopropanol) سرد و سانتریفوژ میکروتیوپ‌ها مایع روی تخلیه و سپس اتانول ۷۵ درصد سرد اضافه و مجدد سانتریفوژ شد. بعد از دور ریختن محلول روی و خشک شدن میکروتیوپ‌ها در دمای اتاق رسوب حاصل در آب تیمار شده با DEPC (Diethyl pyrocarbonate) و حل شد. پس از استخراج RNA، کمیت و کیفیت آن با استفاده از دستگاه نانودراپ (Nanodrop) و الکتروفورز ژل آگارز بررسی شد. حضور باندهای RNA ریبوزومی ۱۸S و ۲۸S، نشان‌دهنده سالم

### آزمون MTT

حدود ۱۰۰۰۰ سلول در هر یک از چاهک‌های پلیت ۹۶ خانه‌ای کشت داده شدند. این سلول‌ها با غلظت‌های مشخصی (۰ تا ۷۰ میکرومولار) از نانوکورکومین دندروزومی تیمار شدند. پس از گذشت زمان مورد نظر (۲۴ یا ۴۸ ساعت)، مقدار ۲۰ میکرولیتر از محلول MTT [3-(4,5-Dimethylthiazol-2-yl)-2,5-diphenyltetrazolium bromide] (۵ میلی‌گرم در هر میلی‌لیتر بافر نمکی فسفات) به هر چاهک اضافه شد و پلیت برای مدت ۴-۳ ساعت درون انکوباتور قرار داده شد. سپس به منظور رسوب سلول‌ها به کف پلیت، پلیت برای مدت ۵ دقیقه، با دمای ۳۷ درجه سلسیوس و با دور ۳۸۰ سانتریفوژ شد. پس از آن محلول رویی تخلیه و ۲۰۰ میکرولیتر محلول DMSO (Dimethyl sulfoxide) به هر چاهک اضافه شد و زیست‌مانایی (Bioviability) نسبی سلول در طول موج ۵۷۰ نانومتر با دستگاه الیزا (ELIZA Plate Reader) اندازه‌گیری شد. نسب جذب در سلول‌های گروه تیمار به گروه کنترل، میزان بقا سلول‌ها در هر غلظت را نشان می‌دهد. غلظتی که در آن ۵۰ درصد از سلول‌ها توسط دارو کشته شدند، تحت عنوان غلظت کشنده (Lethal Dose) در نظر گرفته شد. داده‌های حاصل از ۳ آزمایش مجزا به صورت میانگین  $\pm$  انحراف استاندارد ارایه شد.

### تیمار سلول‌های K562 با نانوکورکومین

#### دندروزومی

از روی IC50 به دست آمده حاصل از آزمون MTT، در زمان‌های ۲۴ و ۴۸ ساعت، دوز مناسب برای تیمار سلول‌ها درون پلیت ۶ خانه‌ای محاسبه شد (طبق مطالعاتی که در گروه تحقیقاتی پروفیسور صادقی زاده صورت گرفته است، نشان داده شده است که کورکومین با یک الگوی وابسته به زمان و غلظت تأثیر خود را اعمال می‌کند و بهترین بازه زمانی ۲۴ و ۴۸ ساعت است). برای تیمار سلول‌ها، در هر دو زمان، غلظت‌های

بودن نمونه RNA است.

میزان بیان ژن‌های مورد نظر، از واکنش Real-Time PCR با سیستم Eva green و دستگاه ABI-7500 استفاده شد. در جدول ۱ توالی آغازگرهای مورد استفاده برای انجام واکنش Real-Time PCR ژن‌های مذکور مشخص شده است. جدول ۲ شرایط دمایی و زمانی استفاده شده در واکنش Real-Time PCR را نشان می‌دهد. سنجش Real-Time PCR برای ژن‌های هدف و مرجع در مورد نمونه‌های مورد نظر، با استفاده از روش  $2^{-\Delta\Delta Ct}$  انجام شد. با اتمام تکثیر، چرخه آستانه تعیین شد.

### بررسی کمی بیان ژن‌های گاما-گلوبین، LSD1، GATA1 و FOG1 به روش Real-Time PCR

با استفاده از کیت ساخت cDNA شرکت Fermentase (آلمان)، cDNA مورد نظر از RNAهای استخراج شده، ساخته شد. برای اطمینان از درستی واکنش رونویسی معکوس و اختصاصی بودن آغازگرها (Primers)، واکنش PCR روی محصولات مورد نظر انجام شد و سپس به منظور بررسی کمی

جدول ۱ آغازگرهای مورد استفاده در واکنش Real-Time PCR

ژن	Tm (درجه سانتی‌گراد)	توالی	آغازگر	طول قطعه تکثیری (جفت باز)
HBG1	۶۴	5'-ATGTGGATCCTGAGAACTTCAAGCT-3'	F	۱۳۶
		5'-GACAGGGCACTGGCCACTG-3'	R	
LSD1	۶۰	5'-TGGCCATTCTCAAAGGGATT-3'	F	۷۸
		5'-CAGCACGCCAACGAGACA-3'	R	
GATA1	۶۴	5'-TGGGATCACACTGAGCTTGCCA-3'	F	۲۸۶
		5'-GGCCTCAGCGTCCCTGTAGTAG-3'	R	
FOG1	۶۴	5'-GACTCCTGAGCGTCTCCTCAC-3'	F	۳۰۳
		5'-TCTCTTTGGGCTTCTCGTCTGTGG-3'	R	
GAPDH	۶۴	5'-GTGAACCATGAGAAGTATGACAAC-3'	F	۱۱۹
		5'-CATGAGTCTTCCACGATACC-3'	R	

جدول ۲ شرایط دمایی و زمانی استفاده شده در واکنش Real-Time PCR

مرحله	چرخه	دما (درجه سانتی‌گراد)	زمان
واسرشتگی اولیه	۱	۹۵	۱۵ دقیقه
واسرشتگی		۹۵	۱۵ ثانیه
اتصال	۴۰	۶۰ یا ۶۴ (اختصاصی برای هر ژن)	۳۰ ثانیه
گسترش		۷۲	۳۴ ثانیه
گسترش نهایی	۱	۷۲	۵ دقیقه

کنترل انجام شد. برای نرمال‌سازی میزان بیان ژن‌های مورد نظر، از ژن کنترل داخلی GAPDH (Glyceraldehyde 3-phosphate dehydrogenase) استفاده شد [۸، ۲۲، ۲۳]

این واکنش برای هر ژن به صورت چهار تکرار و همزمان انجام شده است. تحلیل داده‌ها با استفاده از نرم‌افزار GraphPad Prism 6 و با روش Unpaired T-test بین نمونه‌های تیمار و

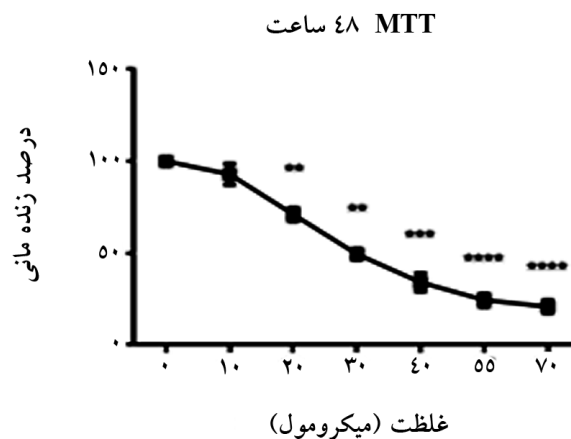
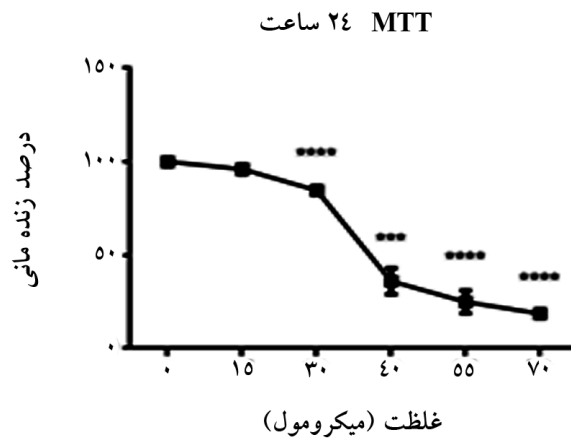
## بررسی افزایش بیان ژن هموگلوبین جنینی

تکثیر سلول‌های K562 را به‌طور معنی‌داری مهار می‌کند و در غلظت‌های کم دارو، اثر سمیتی بر سلول ندارد [کوکورکومین در غلظت‌های پایین دارای خاصیت آنتی‌اکسیدانی و در غلظت‌های بالاتر دارای خاصیت پرواکسیدانی و القای مرگ سلولی برنامه‌ریزی‌شده (Apoptosis) است]. نتایج کشت سلولی آزمون MTT نشان می‌دهد که مقدار  $IC_{50}$  برای نانوکوکورکومین در سلول‌های K562، حدود ۳۷ میکرومولار در زمان ۲۴ ساعت و ۳۰ میکرومولار در زمان ۴۸ ساعت است.

## نتایج

### نتایج بررسی زیست‌مانایی سلول‌های K562 تحت تیمار با نانوکوکورکومین دندروزومی با استفاده از آزمون MTT

همان‌طور که در شکل ۱ مشخص است، نانوکوکورکومین دندروزومی، متناسب با زمان و غلظت داروی مورد استفاده،



شکل ۱ نتایج MTT روی سلول‌های K562؛ اثر نانوکوکورکومین دندروزومی بر رده سلولی K562 در بازه‌های زمانی ۲۴ ساعت و ۴۸ ساعت را نشان می‌دهد. (\*\*):  $p < 0.01$ , (\*\*\*)  $p < 0.001$  و \*\*\*\*  $p < 0.0001$

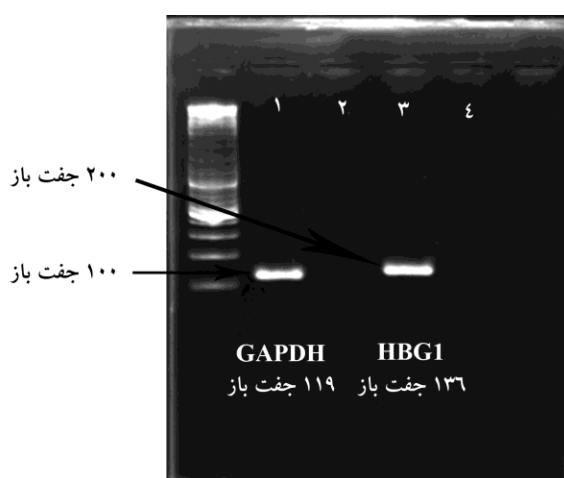
## نتایج حاصل از واکنش RT-PCR برای ژن‌های

### *FOG1* و *GATA1* *HBG1* *LSD1*

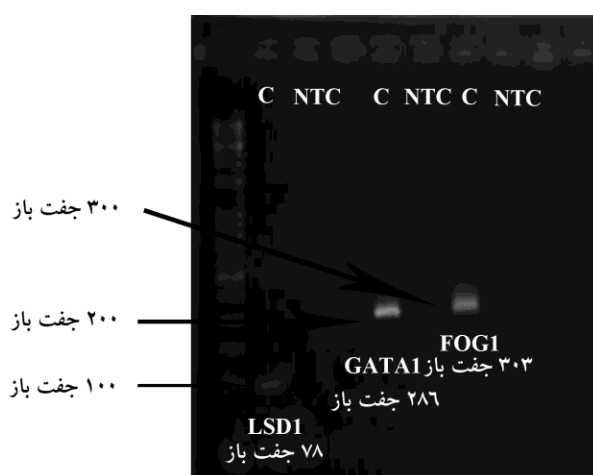
پس از ساخت cDNA مورد نظر از RNA‌های استخراج‌شده، برای اطمینان از درستی واکنش رونویسی معکوس و اختصاصی بودن آغازگرها برای ژن‌های مذکور، واکنش RT-PCR هر یک از ژن‌های مورد نظر انجام شد. نتایج این واکنش در شکل‌های ۲ و ۳ نشان داده شده است.

*GAPDH* به‌عنوان ژن کنترل داخلی (Housekeeping gene) PCR انتخاب شد. اندازه قطعات تکثیرشده برای هر ژن، طبق جدول ۱ مطابق با اندازه مورد انتظار بود.

کنترل منفی ژن‌های مورد نظر نیز بررسی شده است به این ترتیب که تمامی مواد مورد نیاز واکنش برای کنترل منفی‌ها شبیه به هر کدام از ژن‌ها در واکنش است با این تفاوت که در این نمونه‌ها DNA مربوط اضافه نشده است.



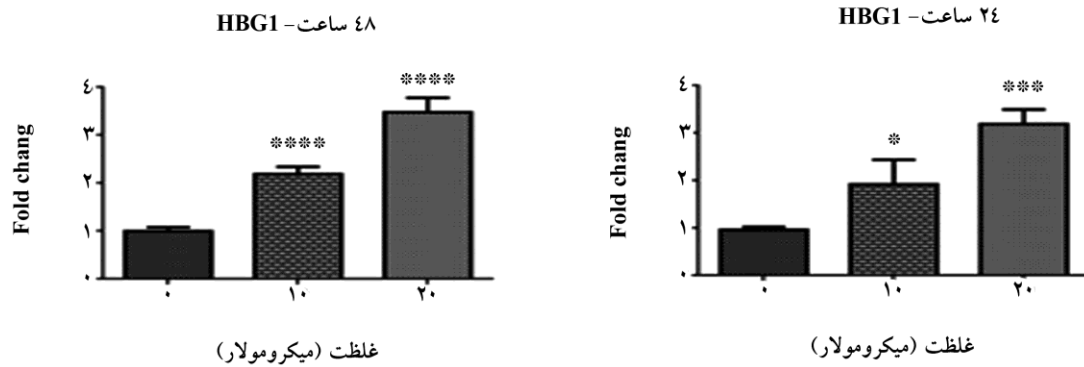
شکل ۲ بررسی بیان ژن گاماگلوبین (*HBG1*) به همراه ژن کنترل داخلی *GAPDH* در نمونه‌های کنترل رده سلولی K562 روی ژل آگارز ۱/۵ درصد. مقدار ۵ میکرولیتر از هر نمونه درون چاهک مربوط اضافه شد. (اعداد ۱ تا ۴ به‌ترتیب بیان‌گر نمونه کنترل ژن *GAPDH*، نمونه کنترل منفی ژن *GAPDH*، نمونه کنترل ژن *HBG1* و نمونه کنترل منفی ژن *HBG1* هستند)



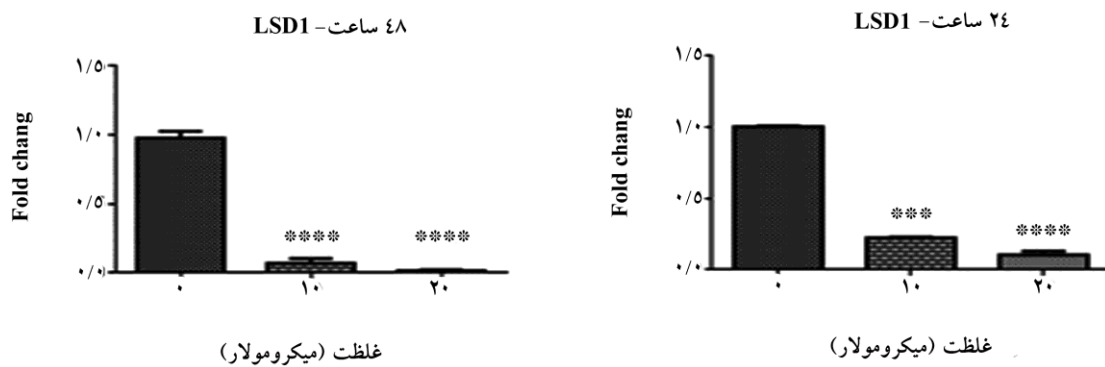
شکل ۳ بررسی بیان ژن‌های *FOG1* و *GATA1*، *LSD1* در نمونه‌های کنترل رده سلولی K562 روی ژل آگارز ۱/۵ درصد. مقدار ۵ میکرولیتر از هر نمونه درون چاهک مربوطه اضافه شد. (C نشان‌دهنده محصول PCR ژن مورد نظر روی نمونه کنترل و NTC نشان‌دهنده نمونه کنترل منفی است)



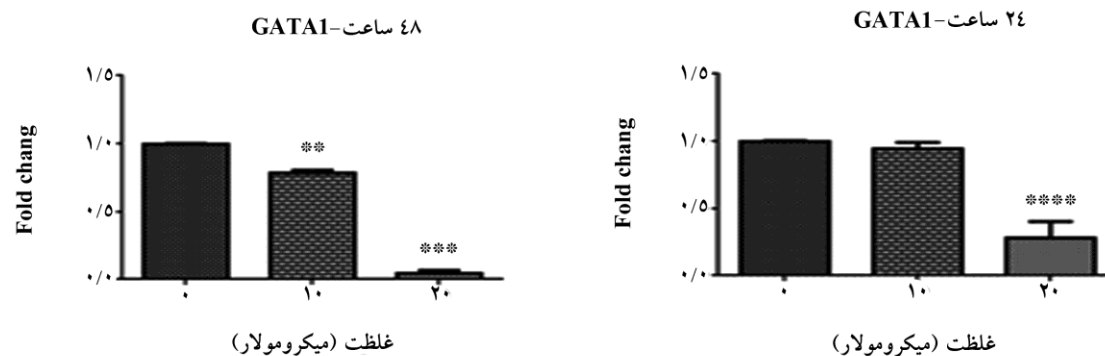
بررسی افزایش بیان ژن هموگلوبین جنینی



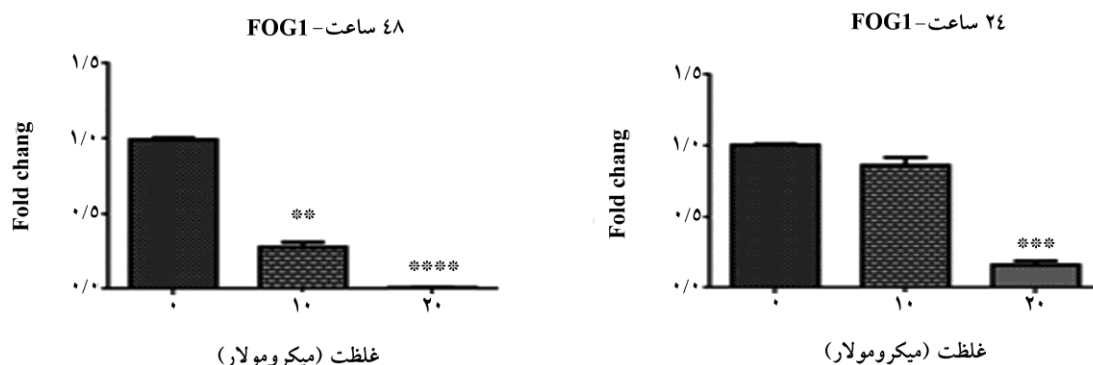
شکل ۴ نتایج تحلیل بیان ژن *HBG1* (گاما گلوبین) در نمونه‌های کنترل (غلظت ۰)، تیمار با غلظت ۱۰ میکرومولار و تیمار با غلظت ۲۰ میکرومولار نانوکورکومین در بازه‌های زمانی ۲۴ ساعت و ۴۸ ساعت در رده سلولی K562، افزایش معنی داری را برای این ژن نشان می‌دهد. (\*:  $P < 0/05$ , \*\*:  $P < 0/01$ , \*\*\*:  $P < 0/001$ , \*\*\*\*:  $P < 0/0001$ )



شکل ۵ نتایج تحلیل بیان ژن *LSD1* در نمونه‌های کنترل، تیمار با غلظت ۱۰ میکرومولار و تیمار با غلظت ۲۰ میکرومولار نانوکورکومین در بازه‌های زمانی ۲۴ ساعت و ۴۸ ساعت در رده سلولی K562، کاهش معنی داری را برای این ژن نشان می‌دهد. (\*:  $P < 0/05$ , \*\*:  $P < 0/01$ , \*\*\*:  $P < 0/001$ , \*\*\*\*:  $P < 0/0001$ )



شکل ۶ نتایج تحلیل بیان ژن *GATA1* در نمونه‌های کنترل، تیمار با غلظت ۱۰ میکرومولار و تیمار با غلظت ۲۰ میکرومولار نانوکورکومین در بازه‌های زمانی ۲۴ ساعت و ۴۸ ساعت در رده سلولی K562، کاهش معنی داری را برای این ژن نشان می‌دهد. (\*:  $P < 0/05$ , \*\*:  $P < 0/01$ , \*\*\*:  $P < 0/001$ , \*\*\*\*:  $P < 0/0001$ )



شکل ۷ نتایج تحلیل بیان ژن *FOG1* در نمونه‌های کنترل، تیمار با غلظت ۱۰ میکرومولار و تیمار با غلظت ۲۰ میکرومولار نانوکورکومین در بازه‌های زمانی ۲۴ ساعت و ۴۸ ساعت در رده سلولی K562. کاهش معنی‌داری را برای این ژن نشان می‌دهد (\*):  $P < 0.05$ , (\*\*):  $P < 0.01$ , (\*\*\*)  $P < 0.001$  و \*\*\*\*  $P < 0.0001$ .

جدول ۳ میزان تغییرات بیان ژن‌ها در بازه زمانی ۲۴ ساعت با رابطه  $2^{-\Delta\Delta Ct}$

ژن	$2^{-\Delta\Delta Ct}$ (۱۰ میکرومولار)	تغییر بیان	$2^{-\Delta\Delta Ct}$ (۲۰ میکرومولار)	تغییر بیان
<i>HBG1</i>	۱/۹۲	افزایش	۳/۱۹	افزایش
<i>LSD1</i>	۰/۲۲۵	کاهش	۰/۱۰۵	کاهش
<i>GATA1</i>	۰/۹۴۳	کاهش	۰/۲۸	کاهش
<i>FOG1</i>	۰/۸۶	کاهش	۰/۱۶	کاهش

جدول ۴ میزان تغییرات بیان ژن‌ها در بازه زمانی ۴۸ ساعت با رابطه  $2^{-\Delta\Delta Ct}$

ژن	$2^{-\Delta\Delta Ct}$ (۱۰ میکرومولار)	تغییر بیان	$2^{-\Delta\Delta Ct}$ (۲۰ میکرومولار)	تغییر بیان
<i>HBG1</i>	۲/۱۹۲	افزایش	۳/۴۸۲	افزایش
<i>LSD1</i>	۰/۰۶۷	کاهش	۰/۰۱۵	کاهش
<i>GATA1</i>	۰/۷۸۵	کاهش	۰/۰۴۵	کاهش
<i>FOG1</i>	۰/۲۷۵	کاهش	۰/۰۰۸	کاهش

## بحث

بتاتالاسمی یک گروه از اختلالات اوتوزوم مغلوب است که به علت کاهش یا عدم تولید زنجیره‌های بتاگلوبین ایجاد می‌شود. هموزیگوت بودن برای بتاتالاسمی، معمولاً منجر به ایجاد تالاسمی ماژور (Major thalassemia) می‌شود. معمولاً در درمان این بیماری از انتقال خون منظم و درمان با هدف کاهش آهن بیش از حد انتقال یافته (از طریق داروهای شلاته‌کننده آهن به منظور دفع آهن اضافی) و همچنین پیوند

مغز استخوان یا پیوند خون بند ناف از یک خویشاوند دارای HLA (Human leukocyte antigen) همسان استفاده می‌شود. با این حال، با توجه به محدودیت‌ها و عوارض جانبی روش‌های درمانی فعلی، به گزینه‌های جایگزین برای درمان نیاز است. القای هموگلوبین جنینی به‌عنوان یک استراتژی امیدبخش برای درمان بتاتالاسمی در نظر گرفته شده است [۲۴]. ژن‌های *Aγ* و *Gγ*، به‌صورت معمول، تنها در دوره تکامل جنینی در سطح بالا بیان می‌شوند. در پی تعویض گاماگلوبین به بتاگلوبین

## بررسی افزایش بیان ژن هموگلوبین جنینی

کم‌خونی مگاکاریوبلاستیک حاد (Acute Megakaryoblastic Leukemia) کمک می‌کند [۲۸]. بنابراین ممکن است مهار ژن‌های GATA1 و FOG1، آثار جانبی مضر هم داشته باشد که نیاز به انجام بررسی‌های بیشتر و پژوهش‌های تکمیلی دارد. گزارش شده است که پلی‌فنول‌های طبیعی از جمله کورکومین، آثار سودمندی در بیماری‌های انسانی همچون سرطان و دیابت دارند. علاوه بر خصوصیات آنتی‌اکسیدانی آن‌ها، اهداف مولکولی این ترکیبات طبیعی، بسیار متنوع هستند. در یک مطالعه، هیستون دمتیلاز وابسته به لایزین به عنوان یک هدف جدید برای این ترکیبات، شناسایی شد و سپس مشاهده شد که کورکومین، رسوراترول (Resveratrol) و کوئرستین (Quercetin) می‌تواند فعالیت آنزیمی هیستون دمتیلاز وابسته به لایزین را مهار کنند. نکته جالب توجه این بود که تأثیر مهاری آن‌ها روی هیستون دمتیلاز وابسته به لایزین، به احتمال زیاد مستقل از خصوصیات آنتی‌اکسیدانی آن‌ها بود چرا که سایر آنتی‌اکسیدان‌ها فاقد عملکرد مشابه بودند. در حال حاضر مشخص نیست که این پلی‌فنول‌ها چگونه و با چه مکانیسمی هیستون دمتیلاز وابسته به لایزین را مهار می‌کنند. اما آنچه که مشخص است قابلیت آن‌ها به عنوان مهارکننده‌های جدیدی برای هیستون دمتیلاز وابسته به لایزین است که تأثیر مهاری قوی‌تری نسبت به سایر مهارکننده‌های هیستون دمتیلاز وابسته به لایزین از جمله ترانیل سیپرومین دارند [۱۹].

همچنین تاکنون در مطالعات مختلف به اثبات رسیده است که کورکومین می‌تواند با تأثیر بر عوامل رونویسی همچون NF-kB (Nuclear factor kappa b)، AP-1 (Activator protein 1) و STAT3 (Signal transducer and activator of transcription 3) و مهار آن‌ها، بر بیان ژن‌ها تأثیر بگذارد [۱۴]. نشان داده شده است که کورکومین می‌تواند با تأثیر بر مسیرهای پیام‌رسانی سلولی، تأثیر خود را اعمال کند. عوامل رونویسی، پروتئین‌هایی است که به DNA متصل می‌شود و تأثیر خود را بر رونویسی از ژن مورد نظر اعمال می‌کند. کورکومین می‌تواند از اتصال یک عامل رونویسی به

نزدیک به زمان تولد، هموگلوبین جنینی تنها ۲-۱ درصد از هموگلوبین کل در افراد بالغ را تشکیل می‌دهد. یک استثنا در این مورد، افراد با پایداری ارثی هموگلوبین جنینی هستند. این افراد بیان افزایش یافته گاماگلوبین (۵-۸۰ برابر) را دارند و سطح هموگلوبین جنینی آن‌ها طی زندگی بزرگسالی، تا ۲۰ درصد می‌رسد. سطح هموگلوبین جنینی افزایش یافته می‌تواند برای بیماران مبتلا به بتاتالاسمی یا کم‌خونی سلول‌های داسی شکل، با بهبود شدت بیماری آن‌ها، مفید باشد [۲۵]. عوامل زیادی در مهار بیان گاماگلوبین در زمان پس از تولد دخیل است که از آن جمله می‌توان به هیستون دمتیلاز وابسته به لایزین، GATA1 و FOG1 اشاره داشت. هیستون دمتیلاز وابسته به لایزین یکی از مهارکننده‌های مهم بیان گاماگلوبین است که مهار آن موجب القا بیان گاماگلوبین می‌شود. هیستون دمتیلاز وابسته به لایزین می‌تواند با حذف گروه متیل به صورت مونو یا دی متیل از H3K4، باعث خاموش‌سازی بیان گاماگلوبین شود [۲۶].

تاکنون نشان داده شده است که مهار هیستون دمتیلاز وابسته به لایزین توسط RNAi (RNA interference) یا از طریق مهارکننده‌های مونوآمین اکسیداز، همچون ترانیل سیپرومین (Tranylcypromine) در سلول‌های ارثرویدی انسانی یا در موش‌های تراریخته، موجب افزایش بیان گاماگلوبین شده است. به همین دلیل، هیستون دمتیلاز وابسته به لایزین یک هدف درمانی امیدوارکننده برای القا بیان ژن گاماگلوبین است [۲۶].

با وجود تأثیری که مهار GATA1 در افزایش بیان ژن گاماگلوبین دارد، در مطالعات متعدد نشان داده شده است که برخی بیماران مبتلا به کم‌خونی وابسته به X مادرزادی (X-linked congenital anemia) و ترومبوسایتوپنی (Thrombocytopenia)، جهشی در ژن GATA1 دارند؛ به‌ویژه که یکی از جهش‌های نقطه‌ای در انتهای N از انگشت روی GATA1، باعث ایجاد اختلال در میان‌کنش بین GATA1 و FOG1 می‌شود [۲۷]. همچنین مشاهده شده است که جهش در ژن GATA1 می‌تواند باعث ایجاد یک پروتئین ناقص شود که به پیدایش

GATA1 و FOG1 باشد. همچنین بیان ژن هیستون دمتیلاز وابسته به لایزین در هر دو بازه زمانی و در هر دو غلظت از داروی نانوکورکومین دندروزومی کاهش یافت. علاوه بر افزایش بیان ژن گاماگلوبین و کاهش بیان ژن هیستون دمتیلاز وابسته به لایزین از طریق تیمار سلول‌های K562 با نانوکورکومین دندروزومی، فرضیه دیگر این تحقیق (تأثیر احتمالی نانوکورکومین دندروزومی در کاهش بیان عوامل رونویسی GATA1 و FOG1) را بارزتر می‌کند. زیرا پس از تیمار سلول‌های K562 با نانوکورکومین، مشاهده شد که نانوکورکومین دندروزومی می‌تواند بیان این دو ژن را در تیمارهای ۲۴ ساعت و ۴۸ ساعت کاهش دهد.

با توجه به اینکه کورکومین یک ترکیب گیاهی استخراج شده از ریشه گیاه زردچوبه است و مورد استفاده بسیاری از مردم در سراسر جهان است، نسبت به بسیاری از ترکیبات شیمیایی که برای درمان بتاتالاسمی و کم‌خونی سلول‌های داسی شکل استفاده می‌شود، می‌تواند ایمن‌تر باشد. جایگزینی زنجیره گاماگلوبین به جای زنجیره بتاگلوبینی که در این بیماران دچار نقص است، می‌تواند در انتقال اکسیژن و بهبود علائم بیماری نقش به‌سزایی داشته باشد. تحقیقات تکمیلی در آینده، می‌تواند نانوکورکومین را به‌عنوان یک عامل درمانی امیدوارکننده کم‌خطر و کم‌هزینه برای درمان بیماران مبتلا به بتا-تالاسمی و سلول‌های داسی شکل از طریق القا بیان هموگلوبین جنینی معرفی کند.

## تشکر و قدردانی

بدین وسیله از همکاری و حمایت جناب پروفیسور مجید صادقی‌زاده در دپارتمان ژنتیک دانشگاه تربیت مدرس قدردانی و تشکر می‌گردد و تحقیق حاضر به کلیه تلاشگران در مسیر درمان بیماران مبتلا به بتا-تالاسمی تقدیم می‌شود.

توالی DNA جلوگیری کند که این اتفاق احتمالاً به دلیل میانکنش مستقیم کورکومین با موتیف متصل شونده به DNA عامل رونویسی صورت می‌گیرد. همچنین کورکومین می‌تواند با القا ممانعت از فسفریلاسیون برخی از عوامل رونویسی، بر یک مسیر پیام‌رسانی تأثیر بگذارد.

با بررسی‌های آنزیمی در شرایط *in vitro* مشخص شده است که کورکومین می‌تواند مهارکننده‌ای قوی برای هیستون دمتیلاز وابسته به لایزین باشد و این اثر مهارتی، حتی قوی‌تر از اثر مهارتی ترانیل سیپرومین بر هیستون دمتیلاز وابسته به لایزین است [۱۹].

در این تحقیق برای بررسی بیان ژن‌های *LSD1*، *HBG1*، *GATA1* و *FOG1* سلول‌های لوکمی انسانی K562 انتخاب شدند. سلول‌های K562 اگرچه از یک فرد بالغ به‌دست می‌آیند اما هموگلوبین‌های رویانی و جنینی را بیان می‌کنند و فاقد هموگلوبین بالغ هستند. با توجه به اینکه سلول‌های K562 مشابه سلول‌های اریترئیدی جنینی بوده و توانایی القا شدن با داروهای مختلف و تولید هموگلوبین جنینی را دارند، مدل مناسبی برای مطالعات القا ژن گاماگلوبین در شرایط *in vitro* هستند [۲۰]. همچنین از نانوکورکومین به جای کورکومین به علت افزایش حلالیت و جذب سلولی کورکومین استفاده شد [۱۷، ۱۸].

پس از انجام مراحل مختلف این تحقیق و بررسی کمی بیان ژن‌ها، مشاهده شد که داروی نانوکورکومین دندروزومی می‌تواند بیان ژن گاماگلوبین را در بازه‌های زمانی ۲۴ ساعت و ۴۸ ساعت و در هر دو غلظت ۱۰ میکرومولار و ۲۰ میکرومولار از دارو، افزایش دهد که این افزایش بیان در غلظت ۲۰ میکرومولار و در زمان ۴۸ ساعت حدود ۴ برابر نسبت به گروه کنترل (عدم دریافت دارو) است. پیش‌بینی می‌شود این افزایش بیان به علت تأثیر مهارتی نانوکورکومین دندروزومی بر مهارکننده‌های بیان گاما-گلوبین یعنی *LSD1*.

- [1] Asgharian AM, Banan M, Najmabadi H. Evaluation of knocking down of the RNAi mediated gamma globin repressor into K562 cells, for gene therapy of beta-thalassemia. *Pejouhandeh* 2011; 16(5): 234-40.
- [2] Bauer DE, Kamran SC, Orkin SH. Reawakening fetal hemoglobin: prospects for new therapies for the  $\beta$ -globin disorders. *Blood* 2012; 120(15): 2945-53.
- [3] Bauer DE, Orkin SH. Update on fetal hemoglobin gene regulation in hemoglobinopathies. *Curr Opin Pediatr* 2011; 23(1): 1-8.
- [4] Dehghanifard A, Kaviani S, Noruzinia M, Soleimani M, Abroun S, Hajifathali A, Pourfathollah A, Mortazavi Y, Ahmadvand M, Mahmoodinia-Meymand M, Kaviani Z, Farshdousti-Hagh M, Saki N. Synergistic effect of sodium butyrate and thalidomide in the induction of fetal hemoglobin expression in erythroid progenitors derived from cord blood CD133 + cells. *Zahedan J Res Med Sci (ZJRMS)* 2012; 14(7): 29-33.
- [5] Kumarasinghe IR, Woster PM. Synthesis and evaluation of novel cyclic peptide inhibitors of Lysine Specific Demethylase 1. *ACS Med Chem Lett* 2014; 5: 29-33.
- [6] Ginder GD. Epigenetic regulation of fetal globin gene expression in adult erythroid cells. *Transl Res* 2015; 165(1): 115-25.
- [7] Amigo JD, Ackermann GE, Cope JJ, Yu M, Cooney JD, Ma D, Langer NB, Shafizadeh E, Shaw GC, Horsely W, Trede NS, Davidson AJ, Barut BA, Zhou Y, Wojjiski SA, Traver D, Moran TB, Kourkoulis G, Hsu K, Kanki JP, Shah DI, Lin HF, Handin RI, Cantor AB, Paw BH. The role and regulation of friend of GATA-1 (FOG-1) during blood development in the zebrafish. *Blood* 2009; 114(21): 4654-63.
- [8] Finotti A, Gasparello J, Breveglieri G, Cosenza LC, Montagner G, Bresciani A, Altamura S, Bianchi N, Martini E, Gallerani E, Borgatti M, Gambari R. Development and characterization of K562 cell clones expressing BCL11A-XL: Decreased hemoglobin production with fetal hemoglobin inducers and its rescue with mithramycin. *Exp Hematol* 2015; 43(12): 1062-71.
- [9] Anand P, Thomas SG, Kunnumakkara AB, Sundaram C, Harikumar KB, Sung B, Tharakan ST, Misra K, Priyadarsini IK, Rajasekharan KN, Aggarwal BB. Biological activities of curcumin and its analogues (Congeners) made by man and Mother Nature. *Biochem Pharmacol* 2008; 76(11): 1590-611.
- [10] Wilken R, Veena MS, Wang MB, Srivatsan ES. Curcumin: A review of anti-cancer properties and therapeutic activity in head and neck squamous cell carcinoma. *Mol Cancer* 2011; 10: 12.
- [11] Shishodia S, Chaturvedi MM, Aggarwal BB. Role of curcumin in cancer therapy. *Curr Probl Cancer* 2007; 31(4): 243-305.
- [12] Ammon HP, Wahl MA. Pharmacology of *Curcuma longa*. *Planta Med* 1991; 57(1): 1-7.

- [13] Kunnumakkara AB, Anand P, Aggarwal BB. Curcumin inhibits proliferation, invasion, angiogenesis and metastasis of different cancers through interaction with multiple cell signaling proteins. *Cancer Lett* 2008; 269(2): 199-225.
- [14] Fu S, Kurzrock R. Development of curcumin as an epigenetic agent. *Cancer* 2010; 116(20): 4670-6.
- [15] Bisht S, Feldmann G, Soni S, Ravi R, Karikar C, Maitra A, Maitra A. Polymeric nanoparticle-encapsulated curcumin ("nanocurcumin"): a novel strategy for human cancer therapy. *J Nanobiotechnology* 2007; 5: 3.
- [16] Sarbolouki MN, Parsaee S, Kosary P. Mixed micelle proliposomes for preparation of liposomes containing amphotericin B, in-vitro and ex-vivo studies. *PDA J Pharm Sci Technol* 2000; 54(3): 240-6.
- [17] Babaei E, Sadeghizadeh M, Hassan ZM, Feizi MA, Najafi F, Hashemi SM. Dendrosomal curcumin significantly suppresses cancer cell proliferation in vitro and in vivo. *Int Immunopharmacol* 2012; 12(1): 226-34.
- [18] Tahmasebi Mirgani M, Isacchi B, Sadeghizadeh M, Marra F, Bilia AR, Mowla SJ, Najafi F, Babaei E. Dendrosomal curcumin nanoformulation downregulates pluripotency genes via miR-145 activation in U87MG glioblastoma cells. *Int J Nanomedicine* 2014; 9: 403-17.
- [19] Abdulla A, Zhao X, Yang F. Natural Polyphenols Inhibit Lysine-Specific Demethylase-1 in vitro. *J Biochem Pharmacol Res* 2013; 1(1): 56-63.
- [20] Deilami Khiabani Z, Banan M, Asgharian AM, Gharesouran J, Javadi G, Kahrizi K, Najmabadi H. Determination of  $\gamma$ -globin induction levels by different concentrations of hydroxyurea in K562 cell lines for  $\beta$  thalassemia treatment. *Medical Sciences* 2009; 19(3) :147-53.
- [21] Tahmasebi Mirgani M, Sadeghizadeh M, Najafi F, Mowla SJ. Dendrosomal curcumin induced apoptosis by suppression of pluripotency genes in 5637 bladder cancer cells. *Modares Journal of Medical Sciences (Pathobiology)* 2013; 16(1): 23-39.
- [22] Finotti A, Bianchi N, Fabbri E, Borgatti M, Breveglieri G, Gasparello J, Gambari R. Erythroid induction of K562 cells treated with mithramycin is associated with inhibition of raptor gene transcription and mammalian target of rapamycin complex 1 (mTORC1) functions. *Pharmacol Res* 2015; 91: 57-68.
- [23] Alizadeh SH, Kaviani S, Soleimani M, Pourfathollah AA, Amirzadeh N, Kouhkan F, Abroun S, Noruzinia M. Effect On alpha hemoglobin chain expression in K562 cell line. *Payavard* 2011; 4(3 & 4): 9-17.
- [24] Cao A, Moi P, Galanello R. Recent advances in  $\beta$ -thalassemias. *Pediatr Rep* 2011; 3(2): e17.
- [25] Langdon SD, Kaufman RE. Gamma-globin gene promoter elements required for interaction with globin enhancers. *Blood* 1998; 91(1): 309-18.
- [26] Shi L, Cui S, Engel JD, Tanabe O. Lysine-specific demethylase 1 is a therapeutic target for

بررسی افزایش بیان ژن هموگلوبین جنینی

- fetal hemoglobin induction. *Nat Med* 2013; 19(3): 291-4.
- [27] Zheng R, Blobel GA. GATA Transcription Factors and Cancer. *Genes Cancer* 2010; 1(12): 1178-88.
- [28] Shimizu R, Engel JD, Yamamoto M. GATA1-related leukaemias. *Nat Rev Cancer* 2008; 8(4): 279-87.